

等方性乱流の減衰

岩手大工 志田川 嶽
航技研 山本裕義

1. 序

才19回日本流体力學講演会(昨年11月)で、「スペクトル法による3次元等方性乱流の數値シミュレーション」のテーマ発表(T2電11=、=792X-1 E加2)。

=792の乱流の研究は1972年、Orszag & Patterson¹⁾によって始まる。周期性境界条件を持つ正立方体の中のNavier-Stokes 方程式の解の構造を FFT 解析により追跡するも、初期条件は $k^4 e^{-2k^2}$ の型のエネルギー-スペクトルをもつ流中のガウス型統計量の一つサンプルを取る。非各向型擾乱が発生する aliasing error を防ぐために、この方法の重要な鍵となる。当時は 32^3 の grid points が得られ、FFT と FFT との間でコロナ-スペクトルを計算する。これは山口からだが、現在 128^3 の grid points まであるので省略とす。コロナ-スペクトルを計算する大計算は既に Kerr,²⁾ Brachet et al³⁾, Kida et al⁴⁾ などを行なっているが、土

上述へとより一般的のタイプ → 等方性乱流を扱う方法
である。

本研究の計算式は、 $k_d = (2\pi/L)n_d$ ($d=1, 2, 3$; n_d は整数) で示され、波数空間を便く。 $L = 4\pi$ とし、 λ は長さの単位を初期エネルギースペクトルの最大値と等しく波数の逆数とした。初期の自由平均速度と平均速度の単位とする。自動的に初期入力エネルギー $E(R, 0) = (16/3)$ $(2/\pi)^{1/2} R^4 e^{-2R^2}$ となる。スケールズ数は $R = 1/v$ (v : 動粘性係数) とする。Orszag & Patterson の計算と、相異点は、基礎方程式は solenoidal 表示⁵⁾ (非圧縮性条件を満たす) であること、BTW 波分離が考慮される。ただし計算精度は $10^{-5} \sim 10^{-6}$ である。

結果は、 $R = 400, 500$ で $t = 10$ 後で small scales の威力起る。エネルギースペクトルの出現を見ると、ルモゴロフ定数 (2.1 $\times 10^4, 2, 3, 4$) が 2.5 乗に comparable である。 $\text{图} 1, 2$ 参照。图 3. R_1 ($\neq 1$ で \rightarrow レイノルズ数) は ≈ 100 の $2^{3/2}$ である。 $\text{图} 3$ 参照。
Skewness は $t = 20$ で ≈ 0.7 で $R = 50 \sim 500$ では 0.4 ~ 0.5 の値を維持する。 $\text{图} 4$ 参照。

2. エネルギー減衰則

$R = 50 \sim 500$ (400 の場合 $\beta = 500$ の場合 $\beta = 1.3$ 、重力 $g = 1$) の付
下のエネルギー減衰の実験結果を図 51 に示す。時間 $t > 10^2$ 中
法則がみられるが、中指數は EDQNM⁴⁾ では $\beta = 2$ である
 $\beta = 1 \sim -1.38$ が実験²⁾。 $R = 500$ の場合 $\beta = -2.5$ は⁵⁾ Kida
et al.⁴⁾ が $t > 10^2$ で $\beta = -1.38$ と得られた。これは
1 丁引抜き。

Batchelor & Townsend⁷⁾ の乱流末期の減衰則は合意⁸⁾
である。3 次元的乱流でも想定される。この period 2 は $R = 400$,
 500 の場合 $R_1 \sim 40$ である。この非線型項が無視できる
領域では $\beta = -1$ である。 $(\beta = 1)$ しかし、乱流初期には中法則の指数 $\beta = 2$ 、指數逃
散的減衰 ($\beta = 3$) と $\beta = 1$ の節が並ぶ。

ここでまず $\beta = 1$ の場合、周期性乱流の場合⁹⁾。 EDQNM は self-similarity analysis¹⁰⁾ によるものである。従って、その波数空間は
離散的である。厚壁近傍では、存在する k 従って $k = 0$ の周囲で $\beta = 1$ であるが、他の k から得られる。平均の波数は $k_c = \sqrt{2}$ である。この大さな
eddyl は $\beta = 1$ のエネルギー輸送によって、この範囲の中、大さな
用ひに $\beta = 1$ のエネルギー輸送が起る。

eddy のエネルギーが「 $\frac{1}{2}$ 加す」これが実証される。だが、初期に乱流の大きさは eddy の $\sqrt{2}$ が禁止されない限り、逆エネルギー輸送は $R = 0.1$ でなければならぬ。この結果、小 ω -eddy の $\frac{1}{2} \omega^2$ がエネルギーが守らなければ、 $k^2 \propto \text{EDQNM}$ の下では ϵ 早い段階で零となる。これが -2.5 である。逆エネルギー数を出す、から ϵ と ω を求めよ。

図 5 から、 $R = 500, 200, 100$ の結果が $t = 20$ 附近で ω と ϵ と EDQNM の値と比較する。一方、初期の ω と ϵ と EDQNM の値と比較する。

一方、初期的 ω と ϵ と EDQNM の値と比較する。Direct Simulation は ω と ϵ と EDQNM の値と比較する。結果から得た図 6, 図 7 は参考になる。資料である。しかし、初期エネルギースペクトルを算出すると完全に同じ条件で“拔った等方性乱流”、初期条件を満たせばいい。だが、モンテカルロ法で“自由度のサンプリング”を行なう。図 7 で、初期条件を ω と ϵ と EDQNM の値と比較する。一方、 EDQNM の ω と ϵ と EDQNM の値と比較する。また EDQNM の ω と ϵ と EDQNM の値と比較する。又図 1 は書いた方が、 $k = [0, 1/2]$ のスペクトルは実験式の ω と一致し、 EDQNM の逆エ

不規則一輪流と馬星正す) = $E(k^2)$ 。 (かた \rightarrow 勾配 $\propto k^4$)

$E(k^2) \propto k^2$ は、 k^2 が L に \propto する $\propto L^{-2}$ の平衡分布

$$E(k^2) = \frac{A}{2Vt_{\text{mix}}} k^2 \quad \text{as } k^2 \rightarrow 0 \quad (2.1)$$

近いとき $\propto k^2$ である。 $E(k^2) \propto k^2$ は k^2 の L に対する比例

が $\propto k^2$ である。(2.1) は k^2 の L に対する比例 (2. Ref. 6) と

一致する。単位予想である $\propto k^2$ 付記) が: 。

3. 乱流初期減衰法則

線形方程式が適用される $k < S$ で、速度場 $v - u$ の $V(k)$

$(k) \approx 1$ 。

$$\frac{1}{2} \frac{d|V(k)|^2}{dt} = -v k^2 |V(k)|^2 \quad (3.1)$$

Batchelor⁹⁾ が予測した、 $[t, k_1]$ の直線の式が得られる。

エネルギー E

$$E(t) = A \int_{k_1}^{\infty} k^{s-2} e^{-2k^2 t} dk = \frac{A}{2(2v t)^{(s+1)/2}} \int_{2v k_1^2 t}^{\infty} x^{(s-1)/2} e^{-x} dx \quad (3.2)$$

$s=4$ は big eddy の係数 \propto 逆 t の $1/2$ 指数。 $k_1=0$, $s=4$

と Taito: $E(t) \sim t^{-5/2}$ (Batchelor & Townsend¹⁰⁾) が

一致する。右辺 \rightarrow 線性 \rightarrow 面積 \rightarrow 体積 \rightarrow 能量 $\propto t^{-1}$ 。

$$2\nu k_1^2 t \gg 1 \text{ の時}$$

$$E(t) \approx \frac{A}{4\nu t} k_1^{5-1} e^{-2\nu k_1^2 t} \quad (3.3)$$

となり、下図は減衰の様子、早く減衰し、減衰のスケート
は $s=1.5$ である。

4. 湍度の乱流 fine structure

湍度場の着目し、 $R = 500$ の場合 $t = 0$ から $t = 10$ の間にどうか
の変化が分かるかを検討する。② 8 は初期の vorticity
magnitude $|\omega|$ (normalized by its maximum) $\rightarrow 0.5$ m
上部部分の領域が強度 ≥ 0.3 。③ 9 は $t = 10$ の場合
 $|\omega| \geq 0.3$ の領域の強度を示す。BB は 12. vorticity は
ランダムに分散し、21 は局所的集中した傾向がある。 $|\omega|^2$
は \sqrt{t} にはほぼ比例する。⇒ 时、 $v = 1/500$, $\epsilon = 0.0418$ 。
w_{rm} ⇒ 逆数は Kolmogorov length η (~ 0.02), 長さは
Taylor microscale λ (~ 0.2) ⇒ 程度 ~ 10 。 (ただし λ は
辺長 L の単位で $\lambda \sim L/2$ である) が (2. Tennekes⁽¹⁰⁾) ⇒ 湍度
モードは $\lambda \ll L$ である。 $R_\lambda \sim 100$ である。

$$\eta^2/\lambda^2 \sim R_\lambda^{-1} \quad (4.1)$$

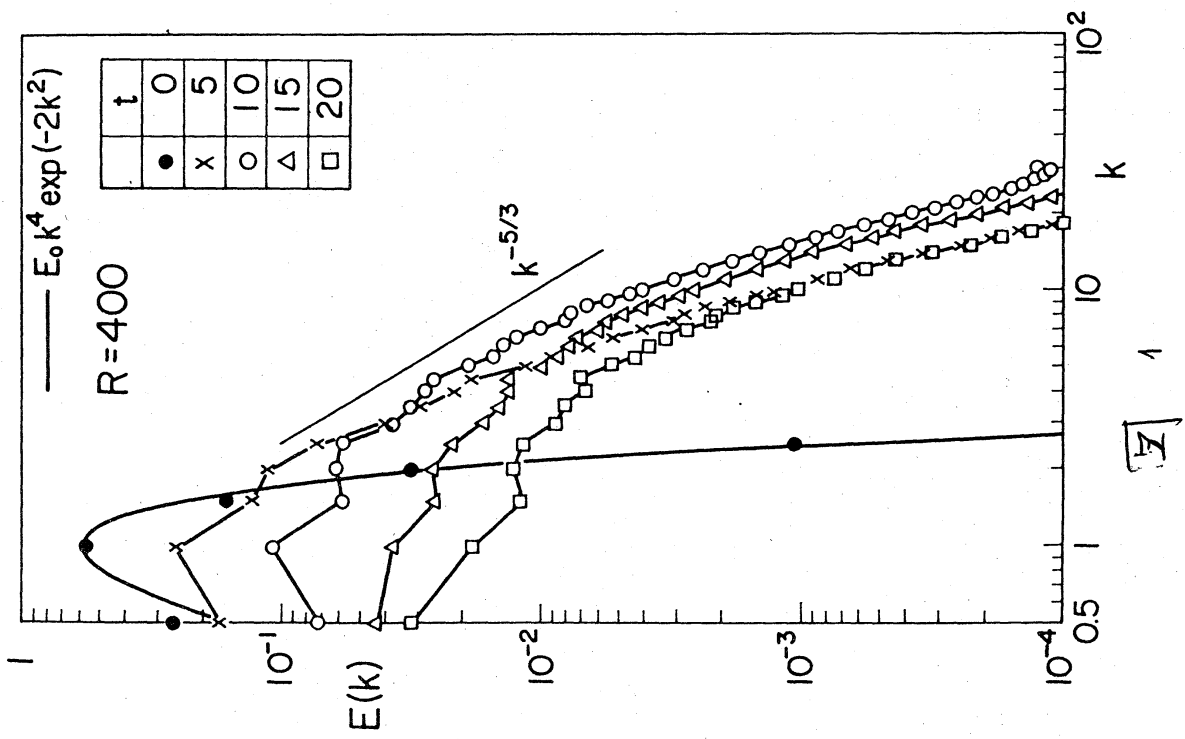
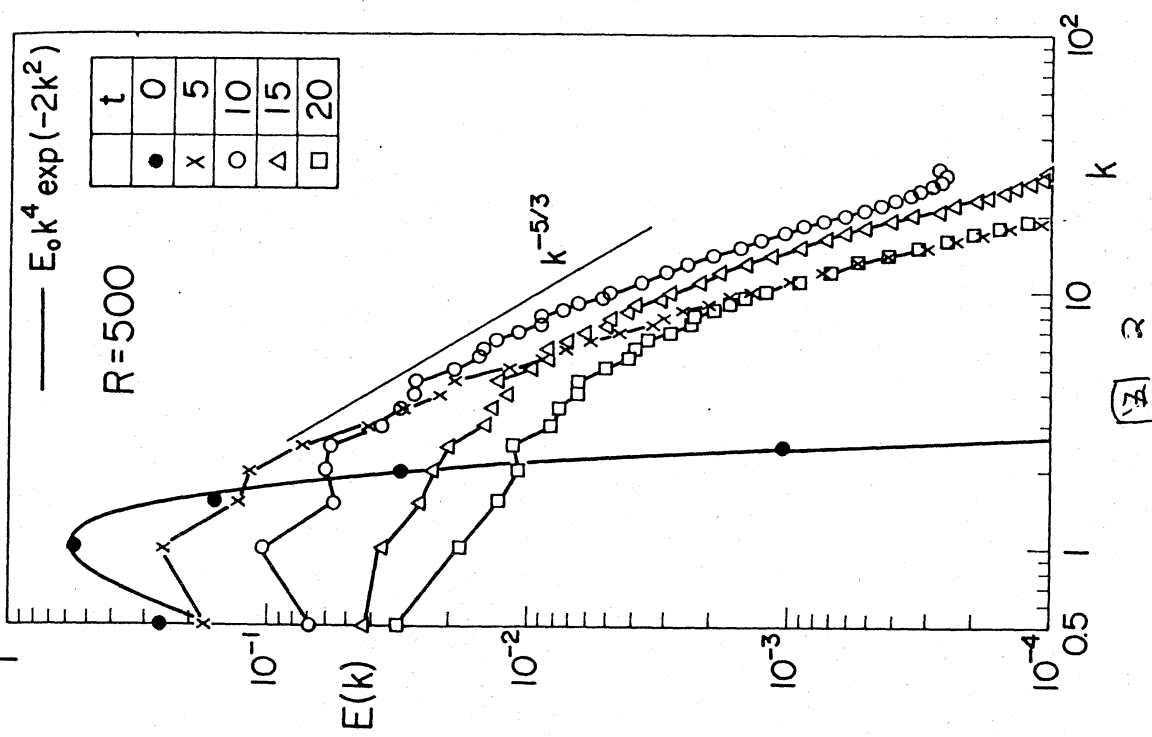
の関係性が成立する。(negative skewness は右側に偏りがあること。)

級(アガル), vorticity-concentrated region と dissipation
 region は、今ま既成概念の全面的変更を要す。かく
 かく(立方体 128^3 分け)各 cell での(平均) vorticity を
 計算し、その分布状況を調べた。確率(ベクトル $P(\text{local}, \text{space}$
 distribution, 次元密度) = $A \exp(-B/\omega)$) が、 ω の正規(一
 成立する) ω に対して $(\omega/\omega_0)^2$ が log-normal である
 ことを否定す。) 24125 > 2 dissipation 分布を簡単な計算
 で、warm regions で dissipation は全 dissipation の
 20% に相当する : $\approx 10^{-3}$, 70% 80% まで静か
 て blank。余り熱いでは dissipate しない。 = 411, Kolmo-
 gorov-length は T と大さな eddies が大きな dissipation は
 ある(2m/s と示す)。と Tukis, 従来 cascade model
 は $T/2$, 二山の重複問題提起, $\approx 10^{-3}$ が十分。

REFERENCES

- 1) S. A. Orszag and G. S. Patterson, Jr., Phys. Rev. Lett. 28 (1972) 76.
 - 2) R. M. Kerr, J. Fluid Mech. 153 (1985) 31.
 - 3) M. Brachet, D. I. Meiron, S. A. Orszag, B. G. Nickel, R. H. Morf and U. Frisch, J. Fluid Mech. 130 (1983) 411.
 - 4) S. Kida and Y. Murakami, J. Phys. Soc. Jpn. 55 (1986) 9.

- 5) K. Yamamoto and I. Hosokawa, J. Phys. Soc. Jpn. 50 (1981) 343.
- 6) M. Lesieur and D. Schertzer, J. Mecanique 17 (1978) 609.
- 7) G. K. Batchelor and A. A. Townsend, Proc. Roy. Soc. A194 (1948) 527.
- 8) I. Hosokawa and K. Yamamoto, J. Phys. Soc. Jpn. 56 (1987) 521.
- 9) G. K. Batchelor, Homogeneous Turbulence (Cambridge, 1960),
- 10) H. Tennekes, Phys. Fluids 11 (1968) 669.
- 11) K. Yamamoto and I. Hosokawa, J. Phys. Soc. Jpn. 57 (1988), to appear.



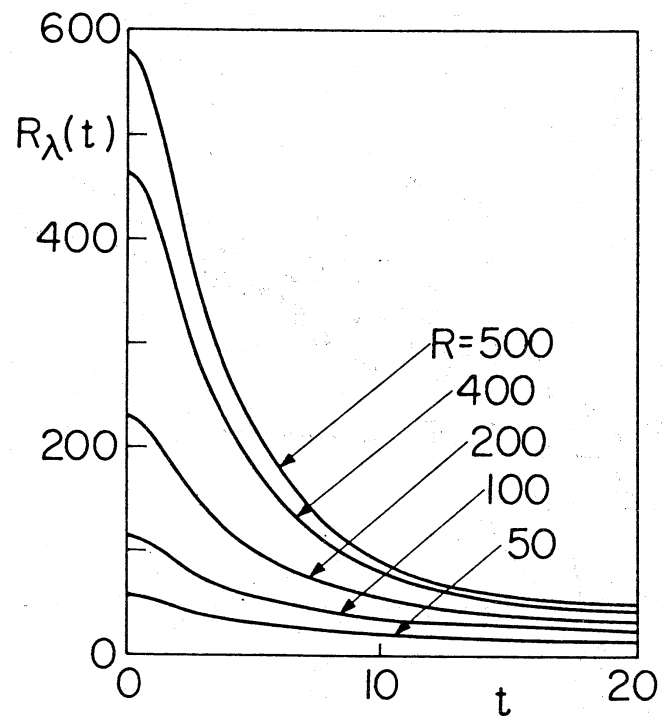


図 3

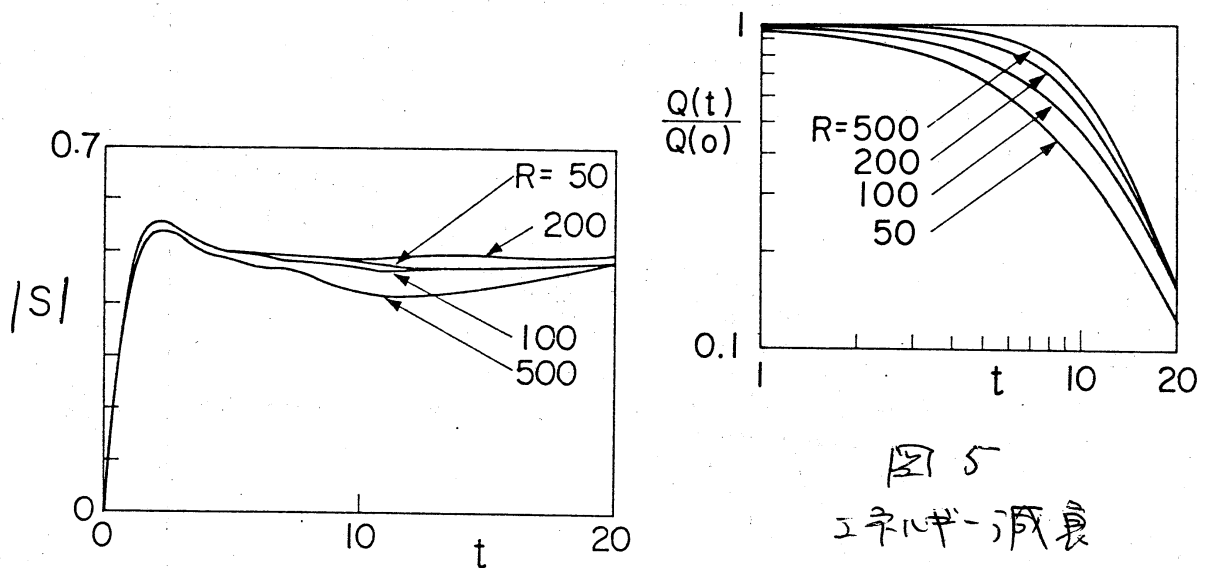
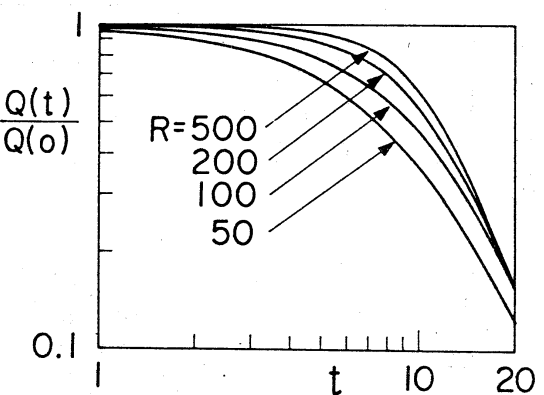


図 4

図 5
エントロピー減衰

The results of Monte Carlo Approach (with k randomly sampled)

Iwao Hosokawa and Kiyoshi Yamamoto

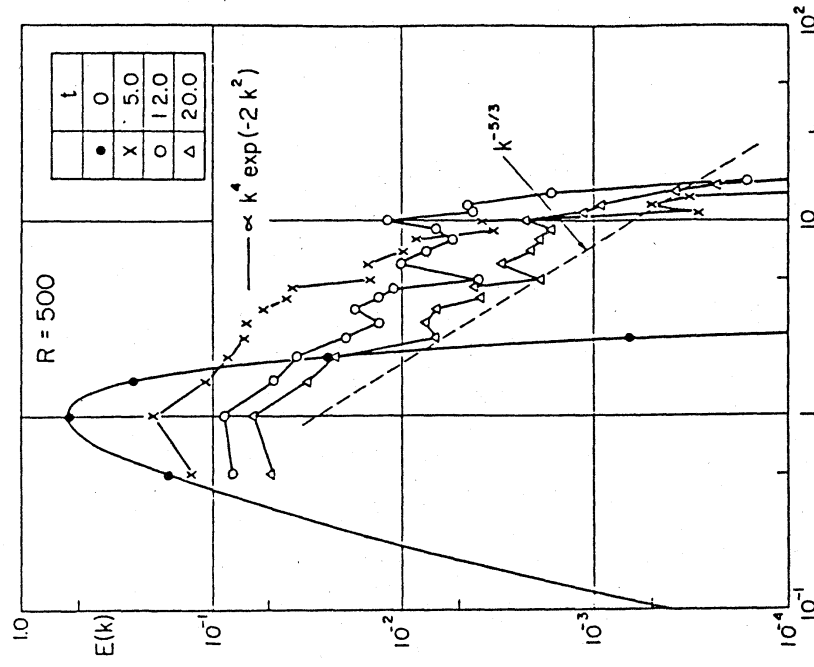


Fig. 5. Band-averaged energy spectrum for $R=500$ at various times.

126

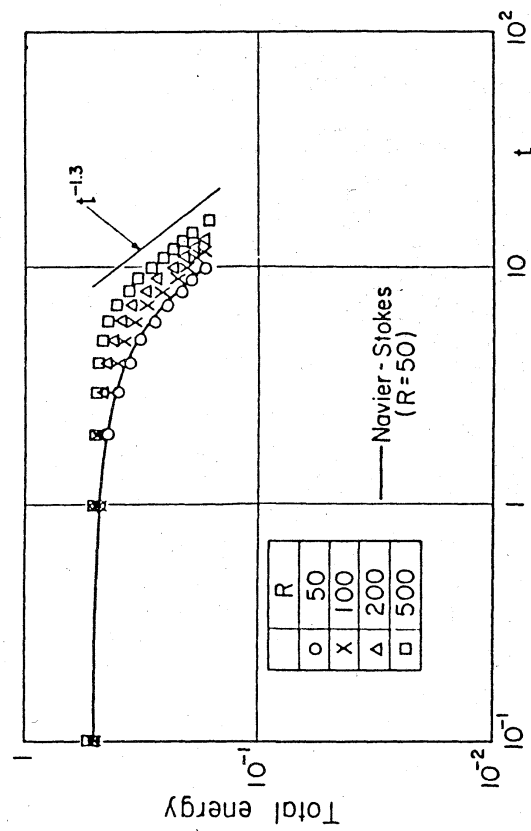


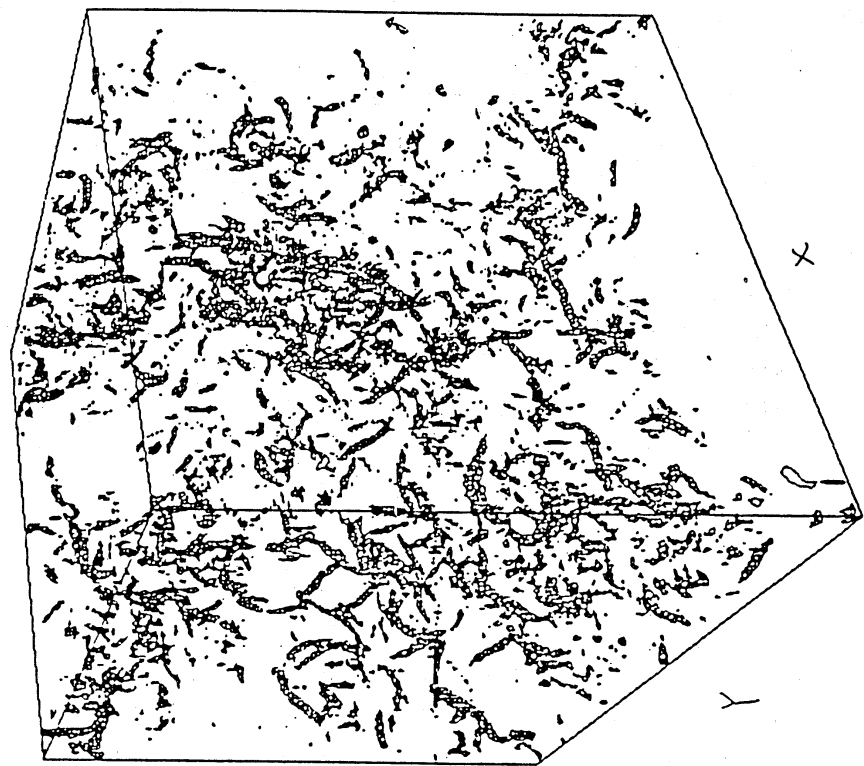
Fig. 2. Energy decay of turbulence by the sample dynamics.

127

Fig. 2. Energy decay of turbulence by the sample dynamics.

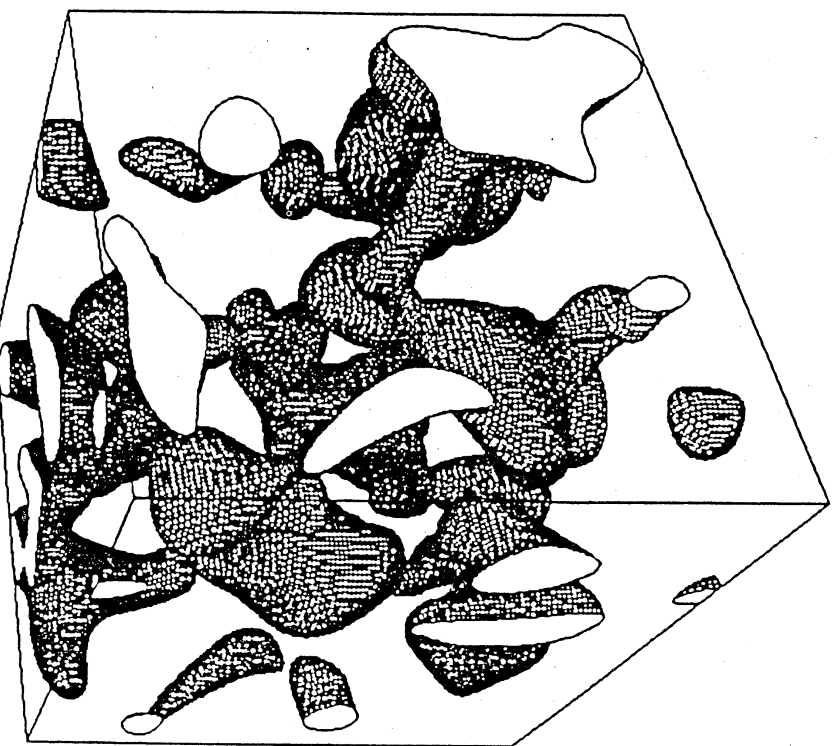
170

$kh = 3.0$



[2] 9

$kh = 5.0$



[2] 8

12